REC'O POT/PTO 0 9 DEC 2004

BUNDESREPUBLIK DEUTSCHLAND 1922



REC'D 0 6 AUG 2003

WIPO PCT

Prioritätsbescheinigung über die Einreichung einer Patentanmeldung

Aktenzeichen:

102 25 714.0

Anmeldetag:

11. Juni 2002

Anmelder/Inhaber:

Conti Temic microelectronic GmbH, Nürnberg/DE;

EADS Deutschland GmbH, Ottobrunn/DE.

Bezeichnung:

Mehrachsiger monolithischer Beschleunigungssensor

IPC:

G 01 P 15/097

Die angehefteten Stücke sind eine richtige und genaue Wiedergabe der ursprünglichen Unterlagen dieser Patentanmeldung.

München, den 25. Juni 2003

Deutsches Patent- und Markenamt

Der Präsident
Im Auftrag

PRIORITY DOCUMENT

SUBMITTED OR TRANSMITTED IN COMPLIANCE WITH RULE 17.1(a) OR (b)

Ozierzon

Rest Available Conv

A 9161 03/00 EDV-L

Conti Temic microelectronic GmbH Sieboldstraße 19, 90411 Nürnberg

und

EADS Deutschland GmbH Willy-Messerschmitt-Straße, 85521 Ottobrunn

Heilbronn, den 07.06.2002 IPM/H-HN-Sp-P800637

Mehrachsiger monolithischer Beschleunigungssensor

Die Erfindung betrifft einen drei- bzw. zweiachsigen monolithischen Beschleunigungssensor nach dem Oberbegriff des Patentanspruchs 1 bzw. 3.

Aus der US-Patentschrift US 6 122 965 A bzw. aus der korrespondierenden deutschen Patentschrift DE 196 49 715 C2 ist eine Anordnung zum Messen von Beschleunigungen bekannt, die aus vier einzelnen, auf einem gemeinsamen Substrat in einem Rechteck angeordneten Einzelsensoren mit jeweils einer Hauptempfindlichkeitsachse besteht. Jeder Einzelsensor weist ein Paddel mit einem Schwerpunkt als seismische Masse auf. Die Hauptempfindlichkeitsachsen der jeweiligen Einzelsensoren weisen jeweils einen Fehlwinkel zur Normalen der Substratoberfläche auf. Die Richtung jeder Rechteckseite und die zugehörige Hauptempfindlichkeitsachse spannen jeweils eine Ebene auf und die Ebenen der auf einer Diagonale liegenden Einzelsensoren sind einander zugeneigt.

Nachteilig hierbei ist, dass der Fehlwinkel zwischen einer Hauptempfindlichkeitsachse und der Normalen zur Substratoberfläche nur in einem begrenzten Bereich von höchstens 20° einstellbar ist.

Aus der PCT-Anmeldung WO 89/05459 ist ein mikromechanischer Beschleunigungsmesser bekannt, bei dem zur Erfassung mehrdimensionaler Bewegungsänderungen drei jeweils für die Beschleunigung in einer ausgewählten Richtung empfindliche mikromechanische Sensoren monolithisch in einem Kristall integriert sind. Die Sensoren bestehen aus Torsionsbalken mit exzentrisch angebrachten Massen, die bei Bewegungsänderungen Drehmomente um die Achsen der Torsionsbalken ausüben. Die Drehmomente werden mit Hilfe integrierter Piezowiderstände gemessen.

5

10

15

20

25

Dieser Beschleunigungsmesser weist Einzelelemente unterschiedlicher Konstruktionsprinzipien in Bezug auf die X- und Y-Achse bzw. die Z-Achse auf. Daraus ergeben sich unterschiedliche Eigenschaften hinsichtlich Empfindlichkeit, Frequenzgang oder Dämpfungsverhalten. Ferner werden hohe Anforderungen an die Auswerteelektronik gestellt, was den Einsatz in Fahrzeugen nahezu ausschließt.

Der Erfindung liegt die Aufgabe zugrunde, einen Beschleunigungssensor nach dem Oberbegriff des Anspruchs 1 bzw. 3 so zu gestalten, dass ein größerer Fehlwinkel einstellbar ist und die Signale der Einzelsensoren schnell und einfach ausgewertet werden können.

Gelöst wird diese Aufgabe durch einen drei- bzw. zweiachsigen monolithischen Beschleunigungssensor mit den im Anspruch 1 bzw. 3 angegebenen Merkmalen.

Der Gegenstand des Anspruchs 1 bzw. 3 weist die Vorteile auf, dass ein größerer und auch idealer Fehlwinkel von 45° einstellbar ist und das auf planare, differentielle kapazitive Signalauslesung ausgerichtete Messprinzip zu besonders stabilen Sensoren führt.

Die Erfindung eignet sich insbesondere für hochwertige, offsetstabile kapazitive Sensoren zum Einsatz in Fahrzeugen.

Vorteilhafte Ausgestaltungen des Beschleunigungssensors nach Anspruch 1 bzw. 3 sind in den Unteransprüchen angegeben.

Die Erfindung wird nun anhand eines Ausführungsbeispiels unter Zuhilfenahme der Zeichnung erläutert.

Es zeigen

5

10

Fig. 1: eine Draufsicht auf einen erfindungsgemäßen Beschleunigungssensor, bestehend aus vier identischen Einzelsensoren auf einem gemeinsamen Substrat, - 3 -

Fig. 2: eine Schnittzeichnung durch die Anordnung nach Fig. 1 mit zwei Einzelsensoren und deren seismischer Masse,

Fig. 3a: die Auslenkung der seismischen Massen der Einzelsensoren nach Fig. 2 in Folge einer in X-Richtung wirkenden beschleunigenden Kraft und

5

10

15

20

25

30

Fig. 3b: die Auslenkung der seismischen Massen der Einzelsensoren nach Fig. 2 in Folge einer in Z-Richtung wirkenden beschleunigenden Kraft.

Die Fig. 1 zeigt einen Beschleunigungssensor 1 zur dreiachsigen Messung von Beschleunigungen, bestehend aus vier identischen Einzelsensoren 2a, 2b, 2c und 2d. Jeder Einzelsensor 2a-d weist eine seismische Masse 3a, 3b, 3c bzw. 3d mit einem Schwerpunkt Sa, Sb, Sc und Sd auf, wobei jede seismische Masse 3a-d exzentrisch gegenüber ihrem Schwerpunkt Sa, Sb, Sc und Sd an zwei Torsionsfederelementen 4a, 4b, 4c, 4d, 4e, 4f, 4g bzw. 4h drehbeweglich aufgehängt ist. Jedes Torsionsfederelement 4a-g ist seinerseits wiederum mit einem Außenrahmen 5 verbunden. Der Außenrahmen 5 hält die vier Einzelsensoren 2a-d zusammen und ist durch einen Zwischenrahmen 6 unterteilt.

Eine aus lediglich zwei Einzelsensoren 2a und 2c bzw. 2b und 2d bestehende Anordnung kann als Sensorelement zur Messung von zweiachsigen Beschleunigungen verwendet werden; zur Messung von dreiachsigen Beschleunigungen werden wenigstens drei der vier Einzelsensoren 2a-d benötigt. Jeder Einzelsensor 2a-d ist gegenüber den drei anderen Einzelsensoren 2a-d um 90°, 180° und 270°, allgemein ein Vielfaches von 90°, gedreht. Bei der Verwendung aller vier Einzelsensoren 2a-d ist eine redundante Information vorhanden, die eine permanente Konsistenzprüfung der Ausgangssignale ermöglicht.

In Fig. 2 ist der Beschleunigungssensor 1 der Fig. 1 im Schnitt A-A dargestellt. Eine aus Silizium bestehende und auf bekannte mikromechanische Weise strukturierte Scheibe ist als gemeinsames Substrat 8 der vier Einzelsensoren 2a-d zwischen einer unteren Deckscheibe 7 und einer oberen Deckscheibe 9 angeordnet und beispielsweise durch Wafer-Bondung mit diesen verbunden, wobei die untere Deckscheibe 7 und die obere Deckscheibe 9 ebenfalls aus Silizium bestehen. Mittels eines Ätzprozesses sind in die Scheibe 8 die seismischen Massen 2a-d der Einzelsensoren 3a-d, die Torsionsfederelemente 4a-h und der Zwischenrahmen 6 strukturiert.

Auf der Innenseite der oberen Deckscheibe 9 sind über jeder seismischen Masse 3 und vorzugsweise symmetrisch zur vom jeweiligen Torsionsfederelement 4 definierten Torsionsachse metallisierte, von einander isolierte Flächen 10a, 10b, 10c und 10d strukturiert, die zur differentiellen kapazitiven Messung der Drehbewegung einer seismischen Masse 3 beim Einwirken einer Beschleunigungskraft dienen.

Jede seismische Masse 3a-d weist eine durch den jeweiligen Schwerpunkt S_a , S_b , S_c und S_d verlaufende Hauptempfindlichkeitsachse 11 auf, dargestellt am Einzelsensor 2b mit der Hauptempfindlichkeitsachse 11b und analog geltend für die Einzelsensoren 2a, 2c und 2d, deren Richtung infolge der einseitigen Aufhängung der seismischen Masse 3b und infolge des ausgelagerten Masseschwerpunkts S_b nicht parallel zu einer jeweiligen Normalen 12b verläuft.

Die Aufhängung der seismischen Masse **3b** an zwei Torsionsfederelementen **4c**, **4d** ergibt eine Drehachse D_b , um den sich die seismische Masse **3b** beim Einwirken einer beschleunigenden Kraft dreht. Bezeichnet man den Abstand zwischen der Drehachse D_b und dem Schwerpunkt S_b in X-Richtung als Abstand a und den Abstand zwischen der Drehachse D_b und dem Schwerpunkt S_b in Z-Richtung als Abstand D_b so berechnet sich der Fehlwinkel D_b folgendermaßen:

25
$$\tan \Phi = \frac{b}{a}$$

15

20

30

Der Fehlwinkel Φ lässt sich über die Gestaltung jeder seismischen Masse 3 über weite Grenzen einstellen. Aufgrund des identischen Aufbaus ist der Fehlwinkel Φ bei allen Einzelsensoren 2a-d gleich groß; geeignete Werte für den Fehlwinkel Φ sind frei einstellbar, auch ein Fehlwinkel Φ von 45° als Idealfall im orthogonalen Koordinatensystem. Das Prinzip ist auch verallgemei-

nerbar, so dass die Einzelsensoren 2a-d unterschiedliche Fehlwinkel Φ aufweisen können.

Um in X-, Y- und Z-Richtung wirkende Beschleunigungskräfte messen zu können, wird die Hauptempfindlichkeitsachse 11b in eine Komponente 13b parallel zur Normalen 12b und in eine Komponente 14b senkrecht zur Normalen 12b zerlegt.

5

10

15

20

25

30

Die zum Einzelsensor **2b** gemachten Aussagen gelten analog auch für die Einzelsensoren **2a**, **2c** und **2d**. Da die Einzelsensoren **2a-d** und insbesondere die seismischen Massen **3a-d** bedingt durch den Herstellungsprozeß weitgehend gleiche geometrische Abmessungen aufweisen, ist jeweils ihre Empfindlichkeit in X-Richtung, ihre Empfindlichkeit in Y-Richtung und ihre Empfindlichkeit in Z-Richtung ebenfalls weitgehend gleich.

Fig. 3a zeigt die Auslenkung der seismischen Massen 3b und 3d der Einzelsensoren 2b und 2d nach Fig. 2 in Folge einer in X-Richtung wirkenden beschleunigenden Kraft, die durch einen Pfeil 15 dargestellt ist. Das Zerlegen der beschleunigenden Kraft 15 ergibt eine Komponente 16 auf der Geraden durch D_d und S_d und eine Komponente 17 senkrecht dazu. Die Komponente 17 führt zu einer Drehbewegung der seismischen Masse 3b bzw. 3d um die Drehachse D_b bzw. D_d , die durch differentielle kapazitive Messung mittels der metallischen Flächen 10a und 10b bzw. 10c und 10d detektiert wird. Durch trigonometrische Gleichungen wird die Größe der auf den Sensor 1 einwirkenden beschleunigenden Kraft 15 berechnet.

Bei einer in X-Richtung wirkenden beschleunigenden Kraft 15 ist die Drehbewegung der seismischen Masse 3b bzw. 3d um die Drehachse D_b bzw. D_d gemäß eines Pfeiles 18 gleichsinnig, die seismischen Massen 3a und 3c (Fig. 1) erfahren keine Drehbewegung.

Bei einer in Y-Richtung wirkenden beschleunigenden Kraft erfahren die seismischen Massen 3a bzw. 3c eine Drehbewegung um die Längsachse der Torsionselemente 4a und 4b bzw. 4e und 4f, hingegen erfahren in diesem Fall die seismischen Massen 3b bzw. 3d keine Drehbewegung um ihre Drehachse D_b bzw. D_d .

Fig. 3b zeigt die Auslenkung der seismischen Massen 3b und 3d der Einzelsensoren 2b und 2d nach Fig. 2 in Folge einer in Z-Richtung wirkenden beschleunigenden Kraft, dargestellt durch einen Pfeil 19. Analog zum Beispiel der Fig. 3a ergibt das Zerlegen der beschleunigenden Kraft 19 eine Komponente 20 auf der Geraden durch D_d und S_d und eine Komponente 21 senkrecht dazu. Die Komponente 21 führt zu einer Drehbewegung der seismischen Masse 3b bzw. 3d um die Drehachse D_b bzw. D_d , die wiederum durch differentielle kapazitive Messung mittels der metallischen Flächen 10a und 10b bzw. 10c und 10d detektiert wird. Durch trigonometrische Gleichungen wird die Größe der auf den Sensor 1 einwirkenden beschleunigenden Kraft 19 berechnet.

5

10

15

Bei einer in Z-Richtung wirkenden beschleunigenden Kraft 19 ist die Drehbewegung der seismischen Masse 3b bzw. 3d um die Drehachse D_b bzw. D_d gemäß eines Pfeiles 22 bzw. 23 gegensinnig. Zudem ist die Drehbewegung der seismischen Masse 3a (Fig. 1) gegensinnig zur Drehbewegung der seismischen Masse 3c.

<u>Patentansprüche</u>

- Dreiachsiger monolithischer Beschleunigungssensor (1), der folgende Merkmale aufweist:
 - a) der Beschleunigungssensor (1) besteht aus mehreren, auf einem gemeinsamen Substrat (8) angeordneten Einzelsensoren (2a-d) mit jeweils einer Hauptempfindlichkeitsachse (11),
- b) jeder Einzelsensor (2a-d) ist an zwei Torsionsfederelementen (4a-h) dreh-10 beweglich aufgehängt und weist eine seismische Masse (3a-d) mit einem Schwerpunkt (S_a, S_b, S_c, S_d) auf,
 - c) jeder Einzelsensor (2a-d) weist Mittel zur Messung (10) der Auslenkung der seismischen Masse (3a-d) auf,

dadurch gekennzeichnet, dass

- d) der Beschleunigungssensor (1) aus wenigstens drei identischen Einzelsensoren (2a-d) besteht,
 - e) jeder Einzelsensor (2a-d) exzentrisch gegenüber seinem Schwerpunkt (S_a , S_b , S_c , S_d) aufgehängt und
- f) gegenüber den anderen Einzelsensoren (2a-d) um 90°, 180° oder 270° ge-20 dreht ist.
 - 2. Beschleunigungssensor nach Anspruch 1, dadurch gekennzeichnet, dass die wenigstens drei identischen Einzelsensoren (2a-d) in einem Rechteck angeordnet sind.
- Zweiachsiger monolithischer Beschleunigungssensor (1), der folgende
 Merkmale aufweist:
 - a) der Beschleunigungssensor (1) besteht aus zwei, auf einem gemeinsamen Substrat (8) angeordneten Einzelsensoren (2a-d) mit jeweils einer Hauptempfindlichkeitsachse (11),

- b) jeder Einzelsensor (2a-d) ist an zwei Torsionsfederelementen (4a-h) drehbeweglich aufgehängt und weist eine seismische Masse (3a-d) mit einem Schwerpunkt (S_a , S_b , S_c , S_d) auf,
- c) jeder Einzelsensor (2a-d) weist Mittel zur Messung (10) der Auslenkung der seismischen Masse (3a-d) auf,

dadurch gekennzeichnet, dass

- d) der Beschleunigungssensor (1) aus zwei identischen Einzelsensoren (2ad) besteht,
- e) jeder Einzelsensor (2a-d) exzentrisch gegenüber seinem Schwerpunkt (S_a , S_b , S_c , S_d) aufgehängt und gegenüber dem anderen Einzelsensor (2a-d) um 180° gedreht ist und
- f) die Hauptempfindlichkeitsachse (11) des einen Einzelsensors (2a-d) vertikal zum Substrat (8) und die Hauptempfindlichkeitsachse (11) des anderen Einzelsensors (2a-d) vertikal zum Substrat (8) verläuft.
- 4. Beschleunigungssensor nach Anspruch 1, 2 oder 3, dadurch gekennzeichnet, dass das Substrat (8) zur Abdichtung und zum Schutz vor Umwelteinflüssen zwischen einer unteren Deckscheibe (7) und einer oberen Deckscheibe (9) angeordnet ist.
- Beschleunigungssensor nach einem der Ansprüche 1 bis 4, dadurch ge kennzeichnet, dass die Auslenkung jeder seismischen Masse (3a-d) mittels einer differentiellen kapazitiven Messung erfolgt.
 - 6. Beschleunigungssensor nach Anspruch 5, dadurch gekennzeichnet, dass zur differentiellen kapazitiven Messung an der oberen Deckscheibe (9) in der Nähe der durch das jeweilige Torsionsfederelement (4a-h) definierten Torsionsachse metallisierte und von einander isolierte Flächen (10a-d) strukturiert sind.
 - 7. Beschleunigungssensor nach Anspruch 6, dadurch gekennzeichnet, dass die Flächen (10a-d) symmetrisch zu der durch das jeweilige Torsionsfederelement (4a-h) definierten Torsionsachse angeordnet sind.

25

5

Heilbronn, den 07.06.2002 IPM/H-HN-Sp-P800637

Zusammenfassung

- 1. Mehrachsiger monolithischer Beschleunigungssensor
- 2.1. Bei bekannten Beschleunigungssensoren ist der Fehlwinkel zwischen Hauptempfindlichkeitsachse und der Normalen nur in einem Bereich von höchstens 20° einstellbar. Oder die Beschleunigungsensoren weisen unterschiedliche Eigenschaften bezüglich der drei Raumachsen auf, was hohe Anforderungen an die Auswerteelektronik stellt und den Einsatz in Fahrzeugen ausschließt.
 - 2.2. Mehrachsiger monolithischer Beschleunigungssensor, mit folgenden Merkmalen:
 - der Beschleunigungssensor besteht aus mehreren, auf einem gemeinsamen Substrat angeordneten Einzelsensoren mit jeweils einer Hauptempfindlichkeitsachse,
 - jeder Einzelsensor ist an zwei Torsionsfederelementen drehbeweglich aufgehängt und weist eine seismische Masse mit einem Schwerpunkt auf,
 - jeder Einzelsensor weist Mittel zur Messung der Auslenkung der seismischen Masse auf,
 - der Beschleunigungssensor besteht aus wenigstens drei identischen Einzelsensoren,
 - jeder Einzelsensor ist exzentrisch gegenüber seinem Schwerpunkt aufgehängt und
 - gegenüber den anderen Einzelsensoren um 90°, 180° oder 270° gedreht
 - 2.3. Die Erfindung eignet sich insbesondere für hochwertige, offsetstabile kapazitive Sensoren zum Einsatz in Fahrzeugen.

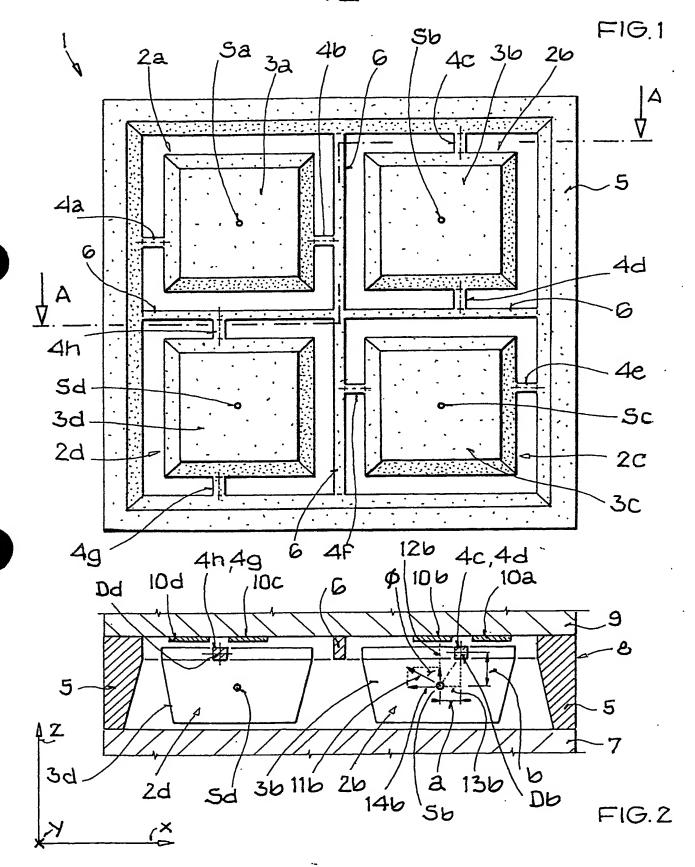
10

5

15

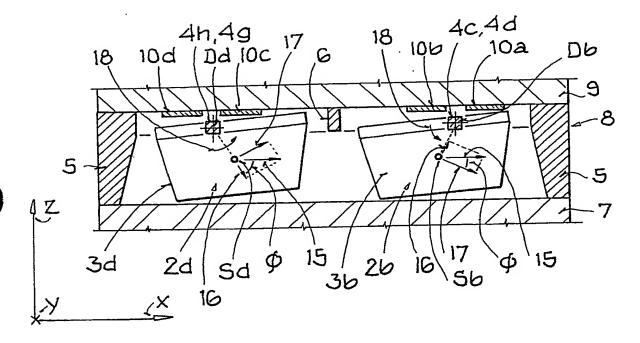
20

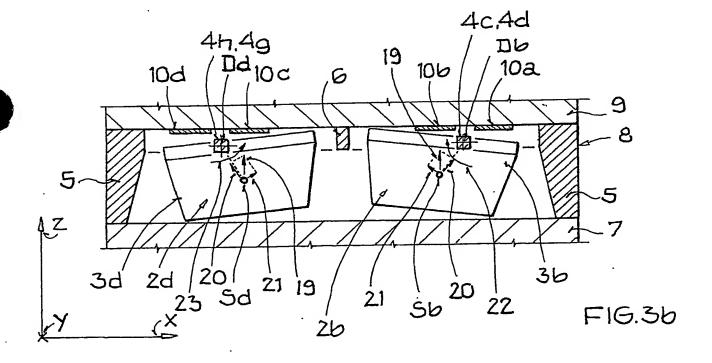
1/2



2/2

FIG.3a





This Page is Inserted by IFW Indexing and Scanning Operations and is not part of the Official Record

BEST AVAILABLE IMAGES

Defective images within this document are accurate representations of the original documents submitted by the applicant.

Defects in the images include but are not limited to the items checked:

BLACK BORDERS
MAGE CUT OFF AT TOP, BOTTOM OR SIDES
☒ FADED TEXT OR DRAWING
☐ BLURRED OR ILLEGIBLE TEXT OR DRAWING
☐ SKEWED/SLANTED IMAGES
COLOR OR BLACK AND WHITE PHOTOGRAPHS
☐ GRAY SCALE DOCUMENTS
☐ LINES OR MARKS ON ORIGINAL DOCUMENT
☐ REFERENCE(S) OR EXHIBIT(S) SUBMITTED ARE POOR QUALITY
□ OTHER:

IMAGES ARE BEST AVAILABLE COPY.

As rescanning these documents will not correct the image problems checked, please do not report these problems to the IFW Image Problem Mailbox.